

УДК 519.7/681.3

ФОРМИРОВАНИЕ АЛГОРИТМА АВТОМАТИЗИРОВАННОГО ПРОЕКТИРОВАНИЯ ТЕХНОЛОГИЧЕСКИХ ПАРАМЕТРОВ ПРОЦЕССА ФОРМООБРАЗОВАНИЯ ТОНКИХ ГНУТОЛИСТОВЫХ ПРОФИЛЕЙ

© 2011 И.А. Попов¹, И.В. Антипова², В.П. Махитько², М.В. Савин²

¹ ФНПЦ ОАО «НПО «Марс», г. Ульяновск

² Институт авиационных технологий и управления
Ульяновского государственного технического университета

Поступила в редакцию 12.05.2011

В статье авторы представляют алгоритм автоматизированного проектирования параметров производственно-технологического процесса формообразования тонких гнutoлистовых профилей в адаптированной под процессы исследуемого предприятия на примере UNIGRaphics; подробно расписывают его по элементам графоаналитической модели с интерпретацией математических моделей, реализующих признаки САПР параметров технологического процесса.

Ключевые слова: автоматизированное проектирование, алгоритм, формообразование, профили, графоаналитическая модель.

На основании проведенных теоретических и экспериментальных исследований процессов автоматизации проектирования технологических процессов формообразования тонких гнutoлистовых профилей рассмотрим процедуру организации *алгоритма проектирования параметров и переходов* технологического процесса их производства (рис. 1).

Алгоритм с математическими моделями адаптирован в проектно-технологической информационной системе и поставлен на поддержание в UNIGRaphics.

Работу алгоритма автоматизированного проектирования и оптимизации параметров технологического процесса формообразования гнutoлистовых профилей в системе UNIGRaphics с полным информационным тезаурусом по конструкции и технологии самолёта, сформулируем по следующей логической схеме:

1. Принимается, что показатели анизотропии μ_{ij} (i – направление нормали к площадке, j – направление действия силы) удовлетворяют соотношениям $\mu_{31} = \mu_{32} = 1 - \mu_{12} = \mu_{21}$; $\mu_{23} = \mu_{13} = 0,5$. Переход к блоку 2.

2. Определяется энергия деформирования уголкового зоны $W_{\delta} = \sigma_1 S_0^2 \alpha(x_3) / 4$. Переход к блоку 3.

Далее вычисляется энергия разгибки уголкового зоны:

$$W_{\delta} = \sigma_1 S_0^2 \alpha(x_3) (1 - r_1^h / r_1),$$

где σ_1 – предел текучести материала в направлении x_p , МПа; S_0 – толщина исходной заготовки, мм; $\alpha(x_3)$ – угол подгибки заготовки, град; r_1^h, r_1 – радиусы заготовки в зоне сгиба после осадки и при свободном формообразовании соответственно, мм. Для этого рассматривается уголкового зона на текущем переходе. Если верхний ролик перехода изготовлен так, что развертка калибра меньше развертки заготовки, то осуществляется переход к блоку 4, если развертка калибра больше, то переходим к блоку 35.

3. Вычисляется энергия разгибки полки для очередного перехода по формуле

$$W_{\delta} = \sigma_1 S_0^2 \alpha(x_3) (1 - r_k^h / r_{k-1}) / 4,$$

где r_k, r_{k-1} – радиусы кривизны, если C_k не превышает критической величины, при которой наступает локальная потеря устойчивости заготовки равенство не сходится, то осуществляется переход к блоку 5, если превышает, то переходим к блоку 28.

4. С учетом формул:

$$W = W_{yc} + W_p + W_3 + W_a;$$

$$W_{\delta} = \sigma_1 S_0^2 \alpha(x_3) / 4;$$

$$W_{\delta} = \sigma_1 S_0^2 \alpha(x_3) (1 - r_1^h / r_1),$$

где σ_1 – предел текучести материала в направлении x_p , МПа; S_0 – толщина исходной заготовки, мм; $\alpha(x_3)$ – угол подгибки заготовки, град; r_1^h, r_1 – радиусы заготовки в зоне сгиба после осадки и при свободном формообразовании соответственно, мм;

Попов Илья Андреевич, аспирант.

Антипова Ирина Владимировна, декан факультета профессиональной подготовки и безотрывных форм обучения. E-mail: iatung@rambler.ru.

Махитько Вячеслав Петрович, кандидат экономических наук, доцент кафедры «Экономика, управление и информатика».

Савин Максим Валерьевич, старший преподаватель кафедры «Самолетостроение»

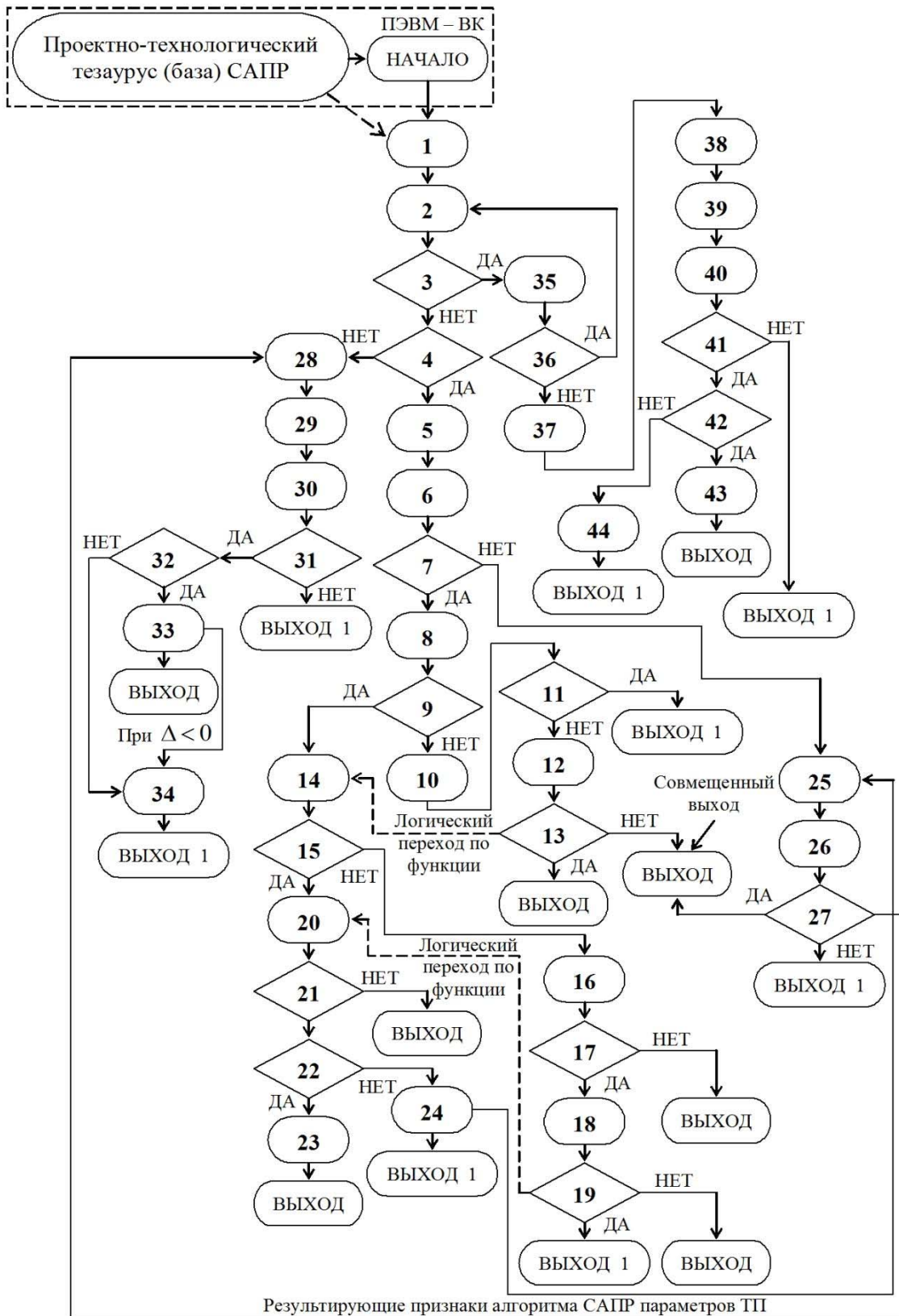


Рис. 1. Алгоритм автоматизированного проектирования параметров технологического процесса формообразования гнутолистовых профилей в системе UNIGRaphics

$$W_{\bar{a}} = 0,5S_0\sigma_2(d_{\alpha}/d_{x_3})^2 \cdot \int_0^{\bar{a}} r^2 dr = \sigma_2 S_0 b^3 (dx/dx_3)^2 / 6,$$

где σ_2 – предел текучести в направлении x_3 , МПа, после согласования данных;

$W_{\bar{a}} = \sigma_2 (R_k / R_{k-1} - 1)(r_{k\alpha} + b)S_0$, где R_k, R_{k-1} – радиус ролика на актуальном и предшествующем переходах, мм; b – ширина полки, мм, вычисляется суммарная энергия по формуле:

$$W = \sigma_1 S_0^2 \cdot \alpha(x_3)(2 - r_k^h / r_{k-1}) / 4 + \\ + \sigma_2 S_0 b^3 (d\alpha / dx_3)^2 / 6 + \\ + \sigma_2 S_0 r_k \alpha(R_k / R_{k-1}) + \\ + \sigma_2 S_0 b(R_k / R_{k-1} - 1).$$

После вычисления, производится переход к блоку 6.

5. Определяется длина зоны плавного перехода в межклетьевом промежутке L_k по математической модели вида:

$$L_k = \sqrt{\frac{8b^3 \alpha_k}{3[S_0(2 - r_k^h / r_{k-1}) / \sqrt{0,5(1 - \mu_{12})} + 4r_k(R_k / R_{k-1} - 1)]}},$$

после расчета на ПЭВМ, производится переход к блоку 7.

6. Проверяется зависимость текущего угла подгибки полки α_x (в соответствии с математической моделью по п. 5 алгоритма) по формуле:

$$\alpha_k < 3L^2 \left\{ S_0^* (2 - r_k^h / r_{k-1}) / \sqrt{0,5(1 - \mu_{12})} + \right. \\ \left. + 4r_k^*(R_k / R_{k-1} - 1) \right\} / (8b^3).$$

Если условие соблюдается, осуществляется переход к блоку 25, если нет, то производится переход к блоку 8.

7. Вычисляются продольные деформации растяжения в очаге с текущим углом α (x) по формуле $d[d\alpha(x)/dx]dx = 0$; определяется $\varepsilon_{осм} = \varepsilon - \sigma_s / E$. Далее переход к блоку 9.

8. Определяются критерии (нормы) устойчивости плоской полки с разработкой математических моделей для определения продольных остаточных деформаций. Определяется функция прогиба отформованной полки по формуле $\omega = \alpha \omega_1(x, y)$, где α – бесконечно малый параметр, не зависящий от координат; ω_1 – конечная функция координат; переход к блоку 10.

9. Определяется ω_1 – по формуле $\omega_1 = \sin 2\pi x / T \cdot \sin \pi y / 2b$, где T – длина периода волнистости, причем $T=2b$ пластина разбивается на целое число квадратов по формуле:

$$A_2 = -S_0 / 2 \cdot \iint_S (\sigma_x \varepsilon_x + \sigma_y \varepsilon_y) dx dy$$

и вычисляется сумма работ внутренних сил $V_1 + V_2$ и внешних сил $A_1 + A_2$, а также вычисляется двойной интеграл по формуле:

$$a^2 \iint_S [W + S_2 / 2 (\sigma_x \varepsilon_x + \sigma_y \varepsilon_y)] dx = 0$$

и потенциал моментов W . Далее переход к блоку 11.

10. Вычисляется “цепь” деформируемой полки по усреднениям e_x и e_y , с приращениями напряжений от изгибающих моментов σ_x и σ_y по математической модели:

$$\sigma_x - \sigma_y / 2 = \sigma_i (\varepsilon_x - z\chi_x) / \varepsilon_i; \sigma_y - \sigma_x / 2 = \sigma_i (\varepsilon_y - z\chi_y) / \varepsilon_i.$$

При определении σ_x и σ_y осуществляется переход к блоку “ВЫХОД1”. Если σ_x и σ_y имеют отрицательную величину, то осуществляется переход к блоку 12, расчет дублируется через контроль параметров технологического процесса.

11. Вычисляется M_x по математической модели вида:

$$M_x = \int_{-S/2}^{+S/2} \sigma_x z dz = -S_0^3 \sigma_i (2\chi_x + \chi_y) / 18\varepsilon;$$

$$M_y = \int_{-S/2}^{+S/2} \sigma_y z dz = -S_0^3 (2\chi_y + \chi_x) / 18\varepsilon$$

через контроль технологического процесса (ТП), а также параметры $\Omega, \vartheta, \mathfrak{Z}_1, \mathfrak{Z}_2, \mathfrak{Z}_3$ по формуле

$$a^2 \iint_S \left\{ -\frac{S_0^3}{9} \cdot \frac{\sigma_i}{\varepsilon_i} (\chi_x^2 + \chi_x \chi_y + \chi_y^2) + \frac{S_0}{2} (\sigma_x \varepsilon_x + \sigma_y \varepsilon_y) \right\} dx = 0.$$

Структурируется выражение вида:

$$a^2 \iint_S \left\{ \frac{S_0^3}{9} \cdot \frac{\sigma_i}{\varepsilon_i} \left[E + \left(\frac{\pi}{b} \right)^2 \mathfrak{Z}_1 + \vartheta \right] + \left[\frac{S_0 \sigma_i}{2} \cdot \frac{1}{2} \mathfrak{Z}_2 + \frac{1}{4} \mathfrak{Z}_3 \right] \right\} ds = a^2 \psi = 0$$

а по программе “МАХ” данного алгоритма, в результате чего вышестоящее уравнение превращается в систему уравнений вида:

$$\begin{cases} E = \left(\frac{\pi}{b} \right)^4 \sin^2 \frac{\pi x}{b} \cdot \sin^2 \frac{\pi y}{2b} \\ \mathfrak{Z}_1 = \left(\frac{\pi}{2b} \right)^2 \sin^2 \frac{\pi x}{b} \cdot \sin^2 \frac{\pi y}{2b} \\ \vartheta = \left(\frac{\pi}{2b} \right)^4 \sin^2 \frac{\pi x}{b} \cdot \sin^2 \frac{\pi y}{2b} \\ \mathfrak{Z}_2 = \left(\frac{\pi}{b} \right)^2 \cos^2 \frac{\pi x}{b} \cdot \sin^2 \frac{\pi y}{2b} \\ \mathfrak{Z}_3 = \left(\frac{\pi}{2b} \right)^2 \sin^2 \frac{\pi x}{b} \cos^2 \frac{\pi y}{2b}, \end{cases}$$

где E – постоянная составляющая пластической области; ϑ – постоянная угла подгибки; \mathfrak{Z}_i – постоянная смещения пластических волокон в углах подгибки.

Далее вычисляется параметр по формуле:

$$\psi = -D_1 / b^2 + (D_{2/2} + D_3) \ln b = 0,$$

затем производится переход к блоку 13.

12. Проверяется условие устойчивости для объединения геометрических параметров заго-

товки, очага деформации и интенсивность деформации по математической модели $1,33\pi^3 S_0^2 \cdot (\varepsilon_i b^2)^{-1} + \ln b = 0$, а ε_i по формуле

$$\varepsilon_i = b^{-1} \int_0^b \varepsilon_{ocm}(\rho) d\rho. \text{ Если вычислительная цепь}$$

сходится, то переходим к блоку “Выход”. Если имеются несовпадения, то логический переход по функции к блоку 14.

13. Задается функция прогиба кромки полки от недеформированного состояния $\omega(x) = \omega_M \sin(2\pi x/T)$ по математическим моделям:

$$\varpi(x) = \omega_M \cdot \sin(2\pi x/T),$$

где ω_M – амплитуда краевой волнистости (по кромке), а x – продольная координата; T – период волнистости;

$$\omega_M = (T/\pi) \cdot [0,5b^2 (\beta_1 \partial(\arcsin[\sin(\alpha) \cdot [(t + C_1) \cdot cht + (C_4 \cdot t - 1) \cdot sht]]) / \partial t)^2 - \sigma_s / E]^{0,5}.$$

Вычисляется длина растянутой полки l на длине перехода T по формуле:

$$\ell = \int_{-0,5T}^{+0,5T} \sqrt{1 + [\omega'(x)]^2} dx.$$

Далее вычисляется ℓ по формуле:

$$\ell = T [1 + 0,25\omega_M^2 \cdot \pi^2 \cdot T^{-2} + 4,68 \cdot 10^{-2} \cdot \omega_M^4 \cdot \pi^4 \cdot T^{-4}]$$

и $\varepsilon_i = (\pi\omega_M/2T)^2$, далее переход к блоку 15.

14. Анализируются углы подгибки по временным параметрам через гиперфункцию $ch(t) = (e^t + e^{-t})/2; sh(t) = (e^t - e^{-t})/2; th(t) = ch(t)/sh(t)$ и др. для определения амплитуды кромковой волнистости и остаточной деформации

$$\varepsilon_i b^{-1} \cdot \int_0^b \varepsilon_{ocm}(\Delta b) d\Delta b,$$

где Δb – текущее положение точки на дуге кругового сектора криволинейной полки, затем осуществляется переход к блоку 16.

15. Проверяются дополнительно величины – параметры $\omega, \Delta\ell, \ell_k, \Delta\ell_H$ по математическим моделям:

$$\omega = \omega_M \cdot \exp(a^2 x^3),$$

где $a = 2\ell^{-1}$ – коэффициент затухания функции прогиба при удалении от $x=0$;

$$\ell_k = \left[\int_{-l/2}^{+l/2} \left[1 + (d[\omega_M \exp(-a^2 x^2)]/dx)^2 \right]^{0,5} dx \right],$$

а на единице длины профиля общая длина кром-

ки волн с количеством $n = T^{-1}$:

$$\sum \ell_H = \ell_k \cdot n = \ell_k \cdot T^{-1},$$

где общая длина на единице длины невозмущенных частей кромки равна: $\sum \ell_H = 1 - \ell \cdot T^{-1}$, где

в итоге проверяется относительная деформация по кромке ε_{ocm} по формуле

$$\varepsilon_{ocm} = T^{-1} \left[\int_{-l/2}^{+l/2} \left[1 + (d[\omega_M \exp(-a^2 x^2)]/dx)^2 \right]^{0,5} dx - l \right].$$

Далее моделируется графоаналитическая модель и вычисляются ω_y, L, R_y и ε_A , осуществляется переход к блоку 17.

16. Анализируется поводка равнополочных швеллеров после профилирования и если поводка не обнаружена, то переход к блоку “Выход”, а после проверки крутки асимметрического профиля. Если крутки нет, то осуществляется переход к блоку 18.

17. Вычисляется центр тяжести эпюры распределения продольных деформаций растяжения с учетом центрального угла Θ , остаточной деформации $\varepsilon_{ocm} = \varepsilon_{ocm}(\Delta b)$ и Δb_B по формуле:

$$\int_{\Delta b_0}^{\Delta b_B} \varepsilon(\Delta b) d\Delta b = \int_{\Delta b_B}^b \varepsilon(\Delta b) d\Delta b,$$

где Δb_B – расстояние от сопряжения уголкового зоны с плоским подгибаемым элементом до центра тяжести эпюры распределения остаточных деформаций; далее определяется r по формуле:

$$r = \left[(0,5b_1 + R \cdot \sin \Theta_B)^2 + (R^2 \cdot \cos^2 \Theta_B) \right]^{0,5},$$

где $\Theta_B = \Delta b_B \cdot R^{-1}$ – угол местоположения точки B на круговом секторе; b_1 – ширина плоского (не подгибаемого) участка. Вычисляются параметры X, L и $\varphi_{IM} = r^{-1} \cdot [(\varepsilon_{ocm} + 1)^2 - 1]^{0,5}$; осуществляется переход к блоку 19.

18. Моделируется угол крутки Z -образного профиля после отформовки и вычисляется L_k и ΔB по формулам:

$$L_k = (2\Delta B R)^{0,5},$$

где $\Delta B = b_{i-1} - b_i$ – осадка торца полки в рассматриваемом переходе; b_i – ширина полки в рассматриваемом переходе; b_{i-1} – ширина полки в предыдущем переходе $i-1$;

$$\Delta B = 2(r_{i-1} - r_i)(1 - \pi/4) + kS_0,$$

а r_{i-1} и r_i – соответственно внутренние радиусы зон сгиба предыдущего и актуального переходов; $k = \Delta B_3/nS_0$ – коэффициент избытка ширины заготовки, предусмотренный для одной зоны сгиба; ΔB_3 – избыток (превышение) ширины заготовки по сравнению с разверткой сечения готового профиля; n – количество зон сгиба на про-

филе; S_0 – толщина исходной заготовки. Далее осуществляется переход к блоку “ВЫХОД-1”.

19. Вычисляется сила тангенциального сжатия P по формуле: $P = L_k \cdot g_y$ с ограничениями для краев пластины при:

$$x = 0 \text{ (шарнирное закрепление) } \omega = 0; \\ \partial^2 \omega / \partial x^2 = 0$$

и

$$y = 0 \text{ (защемление) } \omega = 0; d\omega / dy = 0$$

для линеаризации $M[\omega]$ по формуле

$$M[\omega] - PL[\omega] = 0,$$

где $M[\omega] = D\nabla^2 \nabla^2 \omega$ – дифференциальное выражение; $D = ES^3 / 12(1 - \mu^2)$ – изгибная (цилиндрическая) жесткость; E – модуль упругости материала; μ – коэффициент Пуассона; $L[\omega]$ – дифференциальное выражение вида:

$$L[\omega] = \frac{\partial}{\partial x} \left(\bar{T}_x^0 \frac{\partial \omega}{\partial x} \right) + \frac{\partial}{\partial x} \left(\bar{S}_0^0 \frac{\partial \omega}{\partial x} \right) + \\ + \frac{\partial}{\partial y} \left(\bar{S}_0^0 \frac{\partial \omega}{\partial x} \right) + \frac{\partial}{\partial y} \left(\bar{T}_y^0 \frac{\partial \omega}{\partial y} \right),$$

$\bar{T}_x^0 = \bar{T}_x^0(x, y); \bar{T}_y^0 = \bar{T}_y^0(x, y); \bar{S}_0^0 = \bar{S}_0^0(x, y)$ – распределение начальных единиц внутренних сил в срединной плоскости пластины (при $P=1$), а при $P=1; T_x^0 = S^0 = 0; T_y^0 = -q_y$ (сжатие) это уравнение принимает вид:

$$D \left(\frac{\partial^4}{\partial x^4} + 2 \frac{\partial^4 \omega}{\partial x^2 \partial y^2} + \frac{\partial^4 \omega}{\partial y^4} \right) + q_y \frac{\partial^2 \omega}{\partial y^2} = 0.$$

Далее переход к блоку 21.

20. Проверяется равенство суммы ω по формуле:

$$\omega = \sum_{i=1}^m C_i \cdot f_i(x, y),$$

где $i=1, \dots, m$ и на основе математической модели вида $\omega(x, y) = C_i f_i(x, y)$ определяется полу-волна L по модели

$$L = C_1 D \left[\left(\frac{\pi}{a} \right)^4 \sin \left(\frac{\pi x}{a} \right) \left(1 - \cos \left(\frac{\pi y}{b} \right) \right) - \right. \\ - 2 \left(\frac{\pi}{a} \right)^2 \left(\frac{\pi}{b} \right)^2 \sin \left(\frac{\pi x}{a} \right) \cos \left(\frac{\pi y}{b} \right) - \\ - \left. \left(\frac{\pi}{b} \right)^4 \sin \left(\frac{\pi x}{a} \right) \cos \left(\frac{\pi y}{b} \right) \right] + \\ + q_y \left(\frac{\pi}{b} \right)^2 \sin \left(\frac{\pi x}{a} \right) \cos \left(\frac{\pi y}{b} \right)$$

на основе интегрирования уравнения

$$\int_0^a \int_0^b L f_1(x, y) dx dy = 0. \text{ Это уравнение вытекает}$$

в результате умножения ошибки по функции L на базисную функцию $f_1(x, y)$ при интегрировании по всей площади полки при условии, что действие распределенной нагрузки q_y ограничено пределами $x \in [0; L_k]$ и $y \in [0; b]$. Далее осуществляется переход к блоку “ВЫХОД”. Если в результате упрощения выражение вида:

$$\frac{1}{2} L_1 \left\{ Da \left[\left(\frac{\pi}{a} \right)^4 b + \left(\left(\frac{\pi}{a} \right)^2 + \left(\frac{\pi}{b} \right)^2 \right) \frac{b}{2} \right] - \right. \\ \left. - q_{кр} \left(\frac{\pi}{b} \right)^2 \frac{a}{2\pi} \left(\frac{2\pi L_k}{a} - \sin \left(\frac{2\pi L_k}{a} \right) \right) \frac{b}{2} \right\} = 0$$

не сходится, то осуществляется переход к блоку 22.

21. Анализируется приближенное значение критических соотношений внешних нагрузок $q_{кр}$ по модели

$$q_{кр} = \frac{4\pi D \left\{ (\pi/a)^4 + [(\pi/a)^2 + (\pi/b)^2]^2 / 2 \right\}}{(\pi/b)^2 [2\pi L_k / a - \sin(2\pi L_k / a)]}$$

и математической модели:

$$q_{кр} = 4\pi D \left\{ (\pi/a)^4 + 1/2 [(\pi/b)^2 - (\pi/a)^2]^2 + \right. \\ \left. + 2(1 - \mu)(\pi/b)^2 (\pi/a)^2 \right\}$$

или

$q_{кр} = (\pi/b)^2 [2\pi L_k / a - \sin(2\pi L_k / a)]$ при условии сходимости $q_y(x)$ по формуле $q_y(x) = q_{y0} [1 - \cos(2\pi x / L_k)]$, то осуществляется переход к блоку 23, если же $q_y(x)$ по формуле не сходится, то осуществляется переход к блоку 24.

22. Проверяется расчет сходимости уравнений по индексам L и L_l (в переходе 20), если сходимость существует, осуществляется переход к блоку “ВЫХОД”.

23. Проверяется наличие полной потенциальной энергии

$$\Delta \mathcal{E} = U_x - P_y S^{-1} \int_0^b \frac{1}{2} \left(\frac{\partial \omega}{\partial y} \right)_{x=L_k/2}^2 dy.$$

Вычисляется энергия изгиба полки U_x и при условии $\Delta \mathcal{E} = 0$, вычисляется

$$P_y = \frac{Dads}{(\pi/b)^4 b \sin^2(\pi L_k/2a)} \times \left\{ \frac{1}{2} \left[\left(\frac{\pi}{b} \right)^2 - \left(\frac{\pi}{a} \right)^2 \right]^2 + \left(\frac{\pi}{a} \right)^4 + 2(1-\mu) \left(\frac{\pi}{b} \right)^2 \left(\frac{\pi}{a} \right)^2 \right\}$$

далее переходим к блоку 25.

24. Моделируются и проверяются по результатам исследований зависимости критических напряжений сжатия, а также определяется напряжение аксиального натяжения полосы. Вычисляется $\sigma_x = E \varepsilon_x$ по формуле

$$\sigma_x = E \cdot \varepsilon_x E (D_i - D_{i-1}) / D_i = E \Delta D / D_i,$$

где D_i и D_{i-1} – основные диаметры нижних валков актуального (окончательного) и предыдущего переходов. Затем переход к блоку 26.

25. Вычисляются значения равномерно (по результатам исследований), распределенных по ширине полки продольных (аксиальных) нагрузок растяжения q_x по модели

$$q_x = \sigma_x S_0^x = S_0 E (D_i - D_{i-1}) / D_i$$

и определяется силовая расчетная при исследовании, схема сжатой полки при аксиальном натяге в направлении оси OX . Вычисляется бифуркационное перемещение ω по формуле

$$\omega = \alpha \omega_1(x, y),$$

где α – независимый от координат бесконечно малый параметр; ω_1 – конечная функция координат. Далее переход к блоку 27.

26. Проверяется энергетический критерий Брайна по формуле $\delta(\Delta \mathcal{E}) = 0$, $\Delta \mathcal{E}$ – изменение полной потенциальной энергии, тоже по формуле

$$\Delta \mathcal{E} = U_x + \int_0^a \int_0^b T_x^0 \frac{1}{2} \left(\frac{\partial \omega}{\partial x} \right)^2 dx dy + \int_0^{L_k} \int_0^b T_y^0 \frac{1}{2} \left(\frac{\partial \omega}{\partial y} \right)^2 dx dy,$$

где энергия деформации изгиба полки в искривленном положении U_x , заданном областью определения функции $\omega_1(x, y)$, $x \in [0; a]$, $y \in [0; b]$, записывается так:

$$U_x = \frac{1}{2} \int_0^a \int_0^b D \left\{ \left(\frac{\partial^2 \omega}{\partial x^2} + \frac{\partial^2 \omega}{\partial y^2} \right)^2 + 2(1-\mu) \left[\left(\frac{\partial^2 \omega}{\partial x \partial y} \right)^2 - \frac{\partial^2 \omega}{\partial x^2} \frac{\partial^2 \omega}{\partial y^2} \right] \right\} dx dy,$$

далее осуществляется переход к блоку “ВЫХОД-1”.

27. Энергия деформации изгиба U_z вычисляется через распределение начальных сил в срединной плоскости полки, далее переход к блоку 29.

28. Вычисляем и уточняем выражения для определения критической распределенной нагрузки сжатия по математической модели вида:

$$q_{y.кр.} = \pi \frac{2\pi^2 D [b^{-2} + 3b^2 a^{-4} + (2 - 4\mu)a^{-a}] + 6b^2 a^{-2} q_x}{[2\pi L_k / a - \sin(2\pi L_k / a)],}$$

с моделированием графика зависимости критических напряжений сжатия $\sigma_{укр.min} = f(b, r)$, а далее вычисляются σ_i, \bar{B}_i и \sum_i по известным формулам. Переход к блоку 30.

29. На основе исследований моделируется и строится графоаналитическая модель для определения предельных режимов осадки, а также величина осадки торца заготовки для отформовки одной зоны сгиба r_i и r_{i-1} . Вычисляется зона гофрообразования и формулируются рекомендации (расчетные – в виде логической цепи), если процесс идет, далее переход к блоку 31.

30. Проверяется механизм возникновения кромковой волнистости (дробления кромки) на горизонтальных сжимаемых полках. Проектируются графоаналитическая модель и параметры техпроцесса формообразования; тогда переход к блоку “ВЫХОД-1”. Если имеются отступления от результатов экспериментальных исследований, то есть параметры не совпадают с расчетными, то осуществляется переход к блоку 32.

31. Анализируется силовая схема нагружения горизонтальной полки в валковом калибре. Если нагрузка отвечает критерию, то есть положительная ($\Delta > 0$), то осуществляется переход к блоку 33, если отрицательная ($\Delta < 0$), то переход к блоку 34.

32. Анализируются все математические модели, занесенные в алгоритм (рис. 1) по единой технологической цепи оптимизации параметров технологического процесса формообразования гнутолистовых профилей. Множество математических моделей – оптимизировано, далее переход к блоку “ВЫХОД”; если есть ошибка в расчетах, производится корректировка в блоке 34, то есть осуществляется переход к блоку 34.

33. Моделируется алгоритм расчетов предельных режимов осадки тонких краевых элементов профилей на переходах окончательного формообразования. Если алгоритм совпадает с расчетным, полученным при исследовании, то осуществляется переход к блоку “ВЫХОД-1”. Если алгоритм не совпадает с расчетным, то осуществляется переход к блоку 35.

34. По разделу “Технологические параметры”, вычисляются параметры валковой оснастки: $R, D_L, D_{L-p}, \alpha_e, r_{e-p}$; далее осуществляется переход к блоку 36.

35. В блоках 36 и 44 алгоритма моделируются параметры профиля: b, S_0, r_n, α_n ; механические свойства заготовки: $E, \sigma_s, \delta, K, \mu_p$; на основе параметров валковой оснастки $R, D_L, D_{L-p}, \alpha_e, r_{e-p}$, рассчитывается величина осадки торца полки: $\Delta b = \Delta b(r_e, r_{e-1}, k, S)$; далее определяется длина контактной зоны $L_k = L_k(\Delta b, R)$; определяется аксиальное натяжение полосы $\sigma_x = \sigma_x(S_0, E, D_e, D_{e-1})$; на основе параметрических данных L_k и σ_x – определяются критические нагрузки (напряжения): $\sigma_{\hat{e}\hat{d}\min} = \sigma_{\hat{e}\hat{d}\min}(b, S_0, E, \mu, L_k)$, далее на основе $\sigma_{кр.\min}$ производится релаксация критерия устойчивости методом сравнения необходимых напряжений формообразования с критическими $\sigma_l(\sigma_s, S_0, r_n, \alpha_n) = \sigma_{\hat{e}\hat{d}\min}(b, S_0, E, \mu, L_k)$. По результатам релаксации критерия устойчивости, вычисляется минимальная толщина $S_{0\min}$: если $S_{0\min} > S_0$, то $n_0 = 1, r_e = r_n$; если $S_{0\min} \leq S_0$, то $n_0 + 1, r_e = r_n + \Delta r$. Далее, предопределяется возможность увеличения радиуса r_e , если $S_{0\min} \leq S_0 : \Delta r = 0,5(r_{e-1} - r_e)$ и на основании решения об увеличении (или об уменьшении) радиуса, производится корректировка величины осадки торца полки по параметрам $\Delta b = \Delta b(r_e, r_{e-1}, k, S_0)$. В вышеописанном алгоритме блоки с 36 по 44 выполнены в качестве дополнительной подсистемы для реализации (дублирования) проверки алгоритма расчетов технологических параметров технологического

процесса формообразования гнутолистовых профилей. Математические модели алгоритма экспериментально апробированы в системах автоматизации и АСУП на действующем серийном исследуемом предприятии ЗАО “Авиастар-СП”.

На основании вышеизложенного в процессе экспериментальных исследований и апробирования сформированного алгоритма автоматизированного проектирования технологических параметров процесса формообразования тонких гнутолистовых профилей, выяснена полнота исследований и уместности, проведенных экспериментов; в системе UNIGRaphics алгоритм вполне работоспособен.

СПИСОК ЛИТЕРАТУРЫ

1. Барвинок В.А., Моисеев В.К., Комаров А.Д. Пружинные прямолинейных бортов при стесненном изгибе листовых деталей эластичной средой // Авиационная техника. 2007. № 3. С. 46-52.
2. Курпин П.Н., Колганов И.М. Влияние аксиального натяга полосы на устойчивость таких краевых элементов заготовки при их торцевом сжатии в роликовых парах окончательных переходов // Сборник научных трудов ИАТУ УлГТУ. Ульяновск: Венец, 2002. С. 123-129.
3. Тюнин А.Н. Разработка методов организации производства механообрабатываемых изделий на основе лингвистического описания графоаналитического тезауруса. Дисс... канд. техн. наук. 05.02.22 – “Организация производства (машиностроение)”. Самара: СГАУ, 2011.

FORMATION OF ALGORITHM OF THE AUTOMATED DESIGNING OF TECHNOLOGICAL PARAMETERS OF PROCESS FORMS OF FORMATION THIN BENT STRUCTURES

© 2011 I.A. Popov¹, I.V. Antipova², V.P. Mahitko², M.V. Savin²

¹ FNPC Open Society “NPO “Mars””, Ulyanovsk

² Institute of Aviation Technologies and Managements,
Ulyanovsk State Technical University

In clause authors represent algorithm of the automated designing of parameters of production-technological forms of formation thin bent structures in adapted under processes of the investigated enterprise on example UNIGRaphics; in detail paint it on elements analytical the schedule models with interpretation of the mathematical models realizing attributes САПР of parameters of technological process.

Key words: automated designing, algorithm, formation, structures, schedule models.

Ilya Popov, Graduate Student.

Irina Antipova, Dean at the Vocational Training Faculty.

E-mail: Iatung@rambler.ru.

Vyacheslav Mahitko, Candidate of Economics, Associate Professor at the Economy, Management and Computer Science Department

Maxim Savin, Senior Lecturer at the Aircraft Construction Department.